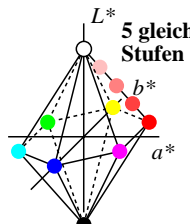


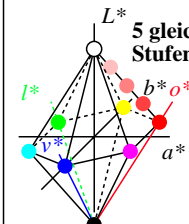
8 Gerätefarben (d) $rgb_d^* = olv^*$ in CIELAB: OYLCVM und NW
 Sechseck-Dreieck-System von Gerätefarben (d): $rgb_d^* = olv^*$ mit **lineare Beziehungen** zwischen $rgb_d \rightarrow olv^*$ und LCH^* (vergleiche lineare Beziehungen zwischen rgb_{sRGB} und L^*)



5 gleiche Stufen
 Gleichungen $olv^* - LCH^*$ in beiden Richtungen sind publiziert: Richter, CIE-Proceedings, Beijing, 2008, Volume 3 und DIN 33872-1
 Drei Gleichungen (Tabellen) sind erforderlich für Büroanwendungen:
 $rgb_d - LCH^{**}$ für ein 9x9x9-Gitter von rgb_d -Eingabefarben
 $olv^* - LCH^*$ ein 9x9x9-Gitter von Daten olv^* und LCH^*
 $olv^* - LCH^*$ **Geräte-Linearisierung durch $rgb_d \rightarrow olv^*$**

KG290-1N

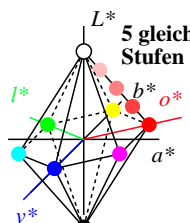
8 Gerätefarben (d) $rgb_d^* = olv^*$ in CIELAB: OYLCVM und NW
 Sechseck-Dreieck-System von Gerätefarben (d): $rgb_d^* = olv^*$ mit **lineare Beziehungen** zwischen $rgb_d \rightarrow olv^*$ und LCH^* (vergleiche lineare Beziehungen zwischen rgb_{sRGB} und L^*)



5 gleiche Stufen
 Gleichungen $olv^* - LCH^*$ in beiden Richtungen sind publiziert: Richter, CIE-Proceedings, Beijing, 2008, Volume 3 und DIN 33872-1
 Drei Gleichungen (Tabellen) sind erforderlich für Büroanwendungen:
 $rgb_d - LCH^{**}$ für ein 9x9x9-Gitter von rgb_d -Eingabefarben
 $olv^* - LCH^*$ ein 9x9x9-Gitter von Daten olv^* und LCH^*
 $olv^* - LCH^*$ **Geräte-Linearisierung durch $rgb_d \rightarrow olv^*$**

KG291-3N

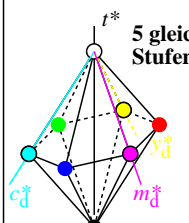
8 Gerätefarben (d) $rgb_d^* = olv^*$ in CIELAB: OYLCVM und NW
 Sechseck-Dreieck-System von Gerätefarben (d): $rgb_d^* = olv^*$ mit **lineare Beziehungen** zwischen $rgb_d \rightarrow olv^*$ und LCH^* (vergleiche lineare Beziehungen zwischen rgb_{sRGB} und L^*)



5 gleiche Stufen
 Gleichungen $olv^* - LCH^*$ in beiden Richtungen sind publiziert: Richter, CIE-Proceedings, Beijing, 2008, Volume 3 und DIN 33872-1
 Drei Gleichungen (Tabellen) sind erforderlich für Büroanwendungen:
 $rgb_d - LCH^{**}$ für ein 9x9x9-Gitter von rgb_d -Eingabefarben
 $olv^* - LCH^*$ ein 9x9x9-Gitter von Daten olv^* und LCH^*
 $olv^* - LCH^*$ **Geräte-Linearisierung durch $rgb_d \rightarrow olv^*$**

KG290-3N

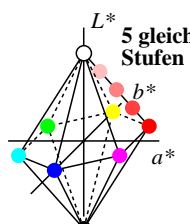
8 Gerätefarben (d) $rgb_d^* = olv^*$ in CIELAB: OYLCVM und NW
 Sechseck-Dreieck-System von Gerätefarben (d): $cmv_d^* = 1 - olv^*$ mit **lineare Beziehungen** zwischen $cmv_d \rightarrow cmv^*$ und LCH^* (vergleiche lineare Beziehungen zwischen rgb_{sRGB} und L^*)



5 gleiche Stufen
 Gleichungen $cmv^* - LCH^*$ in beiden Richtungen sind publiziert: Richter, CIE-Proceedings, Beijing, 2008, Volume 3 und DIN 33872-1
 Drei Gleichungen (Tabellen) sind erforderlich für Büroanwendungen:
 $cmv_d - LCH^{**}$ für ein 9x9x9-Gitter von cmv_d -Eingabefarben
 $cmv^* - LCH^*$ ein 9x9x9-Gitter von Daten cmv^* und LCH^*
 $cmv^* - LCH^*$ **Geräte-Linearisierung durch $cmv_d \rightarrow cmv^*$**

KG291-3N


6 Elementarfarben (e) $rgb_e^* = rgb^*$ in CIELAB: RJGB und NW
 Sechseck-Dreieck-System von Elementarfarben (e): $rgb_e^* = rgb^*$ mit **lineare Beziehungen** zwischen $rgb_e \rightarrow rgb^* - LCH^*$ (vergleiche lineare Beziehungen zwischen rgb_{sRGB} und L^*)



5 gleiche Stufen
 Gleichungen $rgb^* - LCH^*$ in beiden Richtungen sind publiziert: Richter, CIE-Proceedings, Beijing, 2008, Volume 3 und DIN 33872-1
 Drei Gleichungen (Tabellen) sind erforderlich für Büroanwendungen:
 $rgb_e - LCH^{**}$ für ein 9x9x9-Gitter von rgb_e -Eingabefarben
 $rgb^* - LCH^*$ ein 9x9x9-Gitter von Daten rgb^* und LCH^*
 $rgb^* - LCH^*$ **Geräte-Linearisierung durch $rgb_e \rightarrow rgb^*$**

KG290-5N

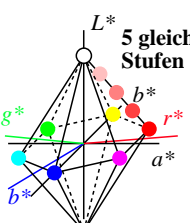
6 Elementarfarben (e) $rgb_e^* = rgb^*$ in CIELAB: RJGB und NW
 Sechseck-Dreieck-System von Elementarfarben (e): $rgb_e^* = rgb^*$ mit **lineare Beziehungen** zwischen $rgb_e \rightarrow rgb^* - LCH^*$ (vergleiche lineare Beziehungen zwischen rgb_{sRGB} und L^*)



5 gleiche Stufen
 Gleichungen $rgb^* - LCH^*$ in beiden Richtungen sind publiziert: Richter, CIE-Proceedings, Beijing, 2008, Volume 3 und DIN 33872-1
 Drei Gleichungen (Tabellen) sind erforderlich für Büroanwendungen:
 $rgb_e - LCH^{**}$ für ein 9x9x9-Gitter von rgb_e -Eingabefarben
 $rgb^* - LCH^*$ ein 9x9x9-Gitter von Daten rgb^* und LCH^*
 $rgb^* - LCH^*$ **Geräte-Linearisierung durch $rgb_e \rightarrow rgb^*$**

KG291-5N

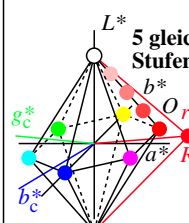
6 Elementarfarben (e) $rgb_e^* = rgb^*$ in CIELAB: RJGB und NW
 Sechseck-Dreieck-System von Elementarfarben (e): $rgb_e^* = rgb^*$ mit **lineare Beziehungen** zwischen $rgb_e \rightarrow rgb^* - LCH^*$ (vergleiche lineare Beziehungen zwischen rgb_{sRGB} und L^*)



5 gleiche Stufen
 Gleichungen $rgb^* - LCH^*$ in beiden Richtungen sind publiziert: Richter, CIE-Proceedings, Beijing, 2008, Volume 3 und DIN 33872-1
 Drei Gleichungen (Tabellen) sind erforderlich für Büroanwendungen:
 $rgb_e - LCH^{**}$ für ein 9x9x9-Gitter von rgb_e -Eingabefarben
 $rgb^* - LCH^*$ ein 9x9x9-Gitter von Daten rgb^* und LCH^*
 $rgb^* - LCH^*$ **Geräte-Linearisierung durch $rgb_e \rightarrow rgb^*$**

KG290-7N

6 Elementarfarben (e) $rgb_e^* = rgb^*$ in CIELAB: RJGB und NW
 Sechseck-Dreieck-System von Elementarfarben (e): $rgb_e^* = rgb^*$ mit **lineare Beziehungen** zwischen $rgb_e \rightarrow rgb^* - LCH^*$ (vergleiche lineare Beziehungen zwischen rgb_{sRGB} und L^*)



5 gleiche Stufen
 Gleichungen $rgb^* - LCH^*$ in beiden Richtungen sind publiziert: Richter, CIE-Proceedings, Beijing, 2008, Volume 3 und DIN 33872-1
 Drei Gleichungen (Tabellen) sind erforderlich für Büroanwendungen:
 $rgb_e - LCH^{**}$ für ein 9x9x9-Gitter von rgb_e -Eingabefarben
 $rgb_c^* - LCH^*$ ein 9x9x9-Gitter von Daten rgb_c^* und LCH^*
 $rgb_c^* - LCH^*$ **Geräte-Linearisierung durch $rgb_e \rightarrow rgb_c^*$**

KG291-7N

Siehe Original/Kopie: http://web.me.com/klaus.richter/KG29/KG29LONP.PDF /.PS
 Technische Information: http://www.ps.bam.de oder http://130.149.60.45/~farbmetrik

TUB-Registrierung: 20090701-KG29/KG29LONP.PDF /.PS
 Anwendung für Messung von Drucker- oder Monitorsystemen
 TUB-Material: Code=rh4ta